



مروزی بر پوشش‌های فتوکاتالیست تصفیه‌کننده هوا

مژده زرگران^{۱*}، نرگس آزادوار^۲

۱- استادیار، مرکز تحقیقات راه، مسکن و شهرسازی، تهران، ایران، صندوق پستی: ۱۳۱۴۵-۱۶۹۶

۲- دانشجوی دکترا، دانشگاه آزاد اسلامی، واحد تهران غرب، تهران، ایران، صندوق پستی: ۱۶۳۱۵-۸۳۵

تاریخ دریافت: ۹۴/۳/۱۱ تاریخ بازبینی نهایی: ۹۴/۶/۸ تاریخ پذیرش: ۹۴/۷/۷ در دسترس بصورت الکترونیک: ۹۴/۸/۹

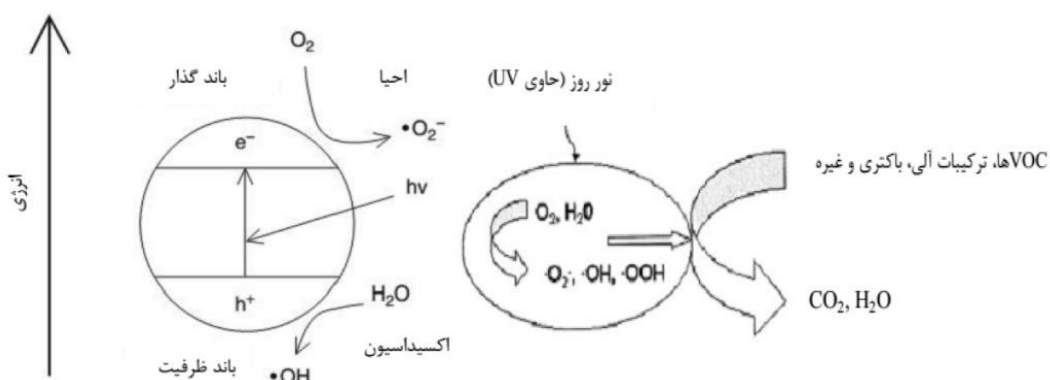
چکیده

روش اکسیداسیون فتوکاتالیستی یکی از روش‌های تصفیه هوا و تجزیه آلاینده‌های آلی مانند فرمالدهید و ترکیبات آلی فرار (VOCs)، باکتری‌ها و سایر مواد شیمیایی تحت پرتو فرابنفش می‌باشد. یکی از عمده‌ترین موارد استفاده از فتوکاتالیست‌ها در رنگ و پوشش‌های ساختمانی است. فتوکاتالیست‌ها عموماً در اثر نور، رادیکال‌هایی با فعالیت بالا تولید می‌کنند. این رادیکال‌ها سپس تشکیل واکنش‌های زنجیره‌ای اکسیداسیون و احیاء داده که بعد از تکمیل زنجیره واکنش‌ها، محصولات نهایی باید آب و دی‌اکسیدکربن باشند. در صورتی که واکنش‌ها به طور کامل انجام نشوند، تعداد زیادی محصولات جانبی می‌تواند شکل بگیرد که ویژگی آنها به خوبی شناخته نشده است. در این مقاله، سازوکار عملکرد فتوکاتالیست‌ها، فتوکاتالیست‌های معمول، تحقیقات انجام شده در زمینه بهبود کارایی و عملکرد فتوکاتالیست‌ها، دلایل غیرفعال‌سازی و دوام آنها، چگونگی بررسی کارایی PCO‌ها، محصولات جانبی تولید شده از آنها و مشکلات موجود در استفاده از این مواد ارائه شده است.

واژه‌های کلیدی

فتوکاتالیست‌ها، تصفیه هوا، پوشش‌ها، پرتو فرابنفش، بهبود کیفیت هوا.

چکیده تصویری





Review on photocatalyst coatings for air purification

Mojdeh Zargaran^{1*}, Narges Azadvar²

1- Housing and Urban Development Research Center (BHRC), P.O. Box: 13145-1696, Tehran, Iran.

2- Islamic Azad University, West Tehran Branch, P.O. Box: 16315-835, Tehran, Iran.

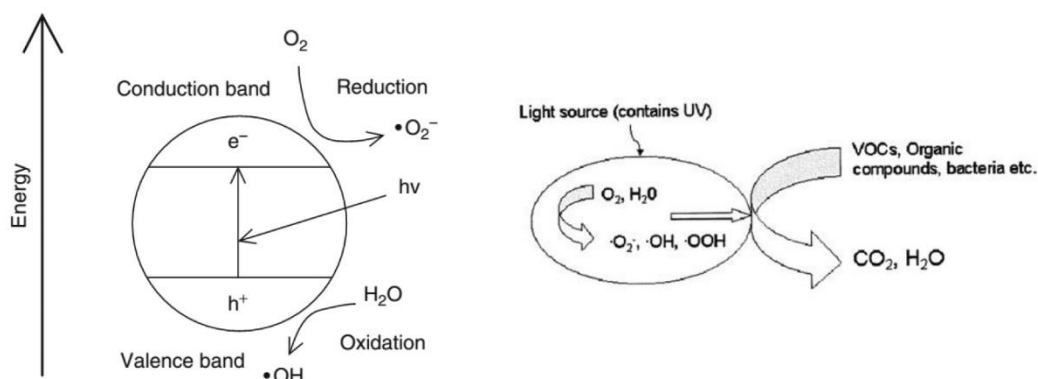
Abstract

Photocatalytic oxidation is one of the air purification methods for deterioration of organic pollutant such as formaldehyde, volatile organic compounds, bacteria and other chemicals under UV lights. One of the major applications of photocatalyst is in the paint and building coatings. Highly reactive radicals are formed when a photocatalyst is subjected to near UV or blue visible light. The end products of these chain reactions are water and carbon dioxide. If mineralization does not take place, a great number of side products can be formed. The properties of these products are not well understood. In this paper performance of photocatalysts, usual and typical photocatalyst, the ways for improvement of photocatalyst performance, durability and reasons of deactivation, performance evaluation of PCO, intermediates generated by PCO and their problems have been investigated.

Keywords

Photocatalysts, Air purification, Coatings, UV light, Air quality improvement.

Graphical abstract



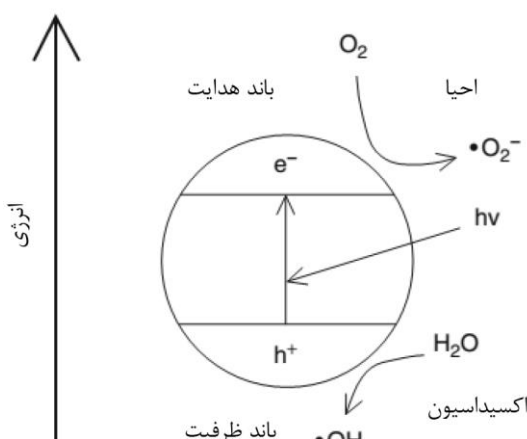
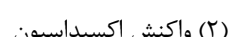
۱- مقدمه

یکی از دغدغه‌های دنیای امروز بحث آلودگی هوا و نیاز به هوای پاک است. از جمله روش‌های تصفیه هوا می‌توان به تصفیه با استفاده از کربن فعال و روش‌های اکسیداسیون حرارتی اشاره کرد که هر کدام از این روش‌ها مزایا و معایب مخصوص به خود را دارد. به عنوان مثال وجود مراحل فرآیندی متعدد در استفاده از کربن فعال و نیازمندی به دما و فشار بالا در اکسیداسیون حرارتی از جمله معایب این روش‌هاست [۱]. امروزه استفاده از فوتوكاتالیست‌ها یکی از فناوری‌های مورد توجه در حذف آلودگی‌ها به شمار آمده و محققین بسیاری در حال مطالعه روی این ویژگی مواد هستند. از جمله مزایای این روش استفاده از تابش خورشیدی، کارکرد در دمای معمول و موثر بودن حتی در غلظت‌های کم آلودگی است [۲]. در روش اکسیداسیون فوتوكاتالیستی (PCO)^۱ برای تصفیه هوا، عموماً از کاتالیست‌های نیمه‌رسانا و پرتو فرابنفش (UV) برای تبدیل ترکیبات آلی موجود در هوای داخل به اجزای بی‌خطر و بی‌بو مانند بخارآب (H_2O) و دی‌اکسیدکربن (CO_2) استفاده می‌شود [۳]. امروزه کاربرد این فوتوكاتالیست‌ها برای تصفیه هوا می‌تواند در مواد مختلف نظری کاشی‌ها، ملات‌های سیمانی، کاغذ دیواری و پوشش‌ها استفاده شود [۴-۶]. استفاده از این مواد در اندودهای سیمانی و پوشش‌ها به عنوان مصالح ساختمانی یکی از کاربردهای گسترده این مواد برای تصفیه هواست [۷]. شکل ۱، شماتیک از فرآیند UV-PCO برای تصفیه مواد آلی فرار موجود در هوای باشد [۸]. اغلب واکنش‌گرهای PCO از نانو تیتانیم (TiO_2) به عنوان کاتالیستی که توسط پرتو فرابنفش فعال می‌شود، استفاده می‌کنند [۸-۱۱]. یک الکترون در تراز ظرفیتی (VB) توسط تابش نور به تراز بالاتر (CB) برانگیخته می‌شود و یک حفره در VB بر جای می‌گذارد. این الکترون‌ها و حفره‌های مثبت به ترتیب موجب احیاء و اکسیداسیون، ترکیباتی می‌شود که در سطح یک فوتوكاتالیست جذب سطحی شده‌اند [۱۲].

معادلات فعل سازی می‌تواند به صورت زیر نوشته شود [۸]:

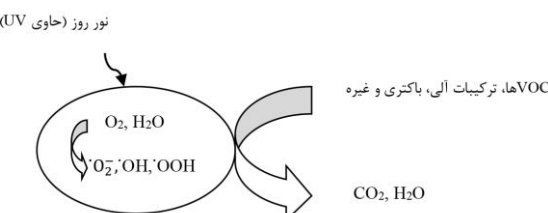
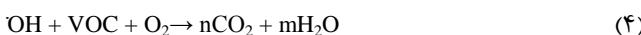


در این واکنش، h^+ , e^- عوامل اکسیدکننده و احیاء کننده قوی می‌باشند که رادیکال‌های فعال نظری رادیکال هیدروکسیل (OH⁻), رادیکال سوپر اکسید (O₂⁻) و رادیکال هیدروژن پراکسید تولید می‌کنند [۱۳]. واکنش‌های اکسیداسیون و احیاء را می‌توان به شکل واکنش‌های ۲ و ۳ نشان داد.



شکل ۱- سازوکار عملکرد فوتوكاتالیست و تولید رادیکال فعال [۸].

وقتی ترکیبات آلی اکسیداسیون فوتوكاتالیزی می‌شوند، رادیکال هیدروکسیل (OH⁻) تولید می‌شود. این رادیکال از اکسیداسیون OH⁻، به دست می‌آید. روی سطح جذب شده یا از اکسیداسیون OH⁻، به دست می‌آید. فوتوكاتالیست‌ها می‌توانند برای تصفیه مواد آلی فرار (VOC)، NOx‌ها، مواد آلی موجود در پوشش‌ها و غیره استفاده شوند. واکنش VOC را می‌توان به صورت واکنش ^۴ نشان داد.



شکل ۲- سازوکار عملکرد فوتوكاتالیست برای تصفیه هوا [۸].

۲- فوتوكاتالیست‌های معمول

فوتوکاتالیست‌های معمول، عموماً اکسید فلزات یا سولفیدها هستند مانند ZnO و TiO₂ و ZrO₂ و SnO₂ و WO₃ و CeO₂ و Fe₂O₃ و Al₂O₃ و TiO₂ و CdS [۱۴]. اما مرسوم‌ترین کاتالیست‌های نوری، ZnO و TiO₂ می‌باشند [۱۵-۱۷]. بیشتر تحقیقات انجام شده در زمینه کاتالیست‌های نوری، از TiO₂ استفاده می‌کنند، چون این ماده ارزان بوده و پایداری شیمیایی خوبی دارد و حفرات ایجاد شده در ساختار آن اکسیدکننده‌هایی قوی می‌باشند [۱۸]. TiO₂ عموماً دارای دو شکل بلور آناتاز^۲ و روتایل^۳ است که فاصله‌های بین باندهای انرژی آناتاز و روتایل به ترتیب ۳/۲۳ ev (۳۸۷ nm) برای آناتاز و ۳/۰۲ ev (۴۰۵ nm) برای روتایل

² Anatase

³ Rutile

¹ Photo catalytic oxidation

سبب کاهش خاصیت فتوکاتالیزی TiO_2 تحت تابش UV می‌شود. یون‌های فلزی به عنوان مکان‌هایی برای نو ترکیبی برای ذرات باردار تولید شده توسط نور عمل می‌کنند. روش دیگر برای فعال‌سازی فتوکاتالیست در ناحیه مرئی، مزدوج کردن TiO_2 با نیتروژن، گوگرد یا کربن است [۲۷]. TiO_2 های آمیخته با نیتروژن برای تخریب نوری فرمالدھید در حالت گازی^۵ [۲۸] و استالدھید [۲۸، ۲۹] استن [۳۰] ۲-پروپانل [۳۱، ۳۲] و تولوئن [۳۳] استفاده شده است. نتایج تحقیقات نشان داده است $TiO_{2-x}N_x$ (فیلم یا پودر) تحت تابش نور مرئی، فعال‌سازی نوری بهتری نسبت به TiO_2 دارد. طول موج فعال $TiO_{2-x}N_x$ اتمسفر زمین را پوشش می‌دهد (حدود ۴۶۰ nm) [۲۹].

افزودن ZrO_2 به $TiO_{2-x}N_x$ سبب تخلخل بیشتر و سطح مخصوص بیشتر و بهبود پایداری حرارتی نسبت به نمونه‌های اصلاح‌شده $TiO_{2-x}N_x$ می‌شود [۳۴]. کربن نیز به عنوان یک عامل مزدوج کننده مورد استفاده قرار گرفته است [۳۵، ۳۶]. خان^۶ و همکارانش [۳۵] نوع n را به وسیله احتراق کنترل شده فلز Ti در شعله گاز طبیعی، اصلاح شیمیایی کردند. این مواد که در آنها کربن جانشین برخی اتم‌های اکسیژن شده است، نور را در طول موج‌های کمتر از ۳۵۰ nm، جذب کرده و فاصله انرژی کمتری از روتایل^۷ در مقابل ۲۳۲ ev (۳۰۰ nm) دارد. استفاده از پوشش‌های حساس‌شده راه حل دیگری برای فعال‌سازی فتوکاتالیست‌های در ناحیه نور مرئی است. پوشش‌های حساس‌شده در نیمه‌رسانا با فاصله انرژی زیاد، برای تغییر فرآیندهای انتقال الکترون در طی واکنش کاتالیزی نوری مورد استفاده قرار می‌گیرد. اصل حساس‌شوندگی نوری یک نیمه‌رسانا توسعه برخی محققین نشان داده شده است [۳۷]. تفاوت انرژی بین پتانسیل اکسیداسیون حساس‌گرهای برانگیخته شده و باند هدایت نیمه‌رساناها به عنوان یک نیروی پیش راننده برای فرآیند انتقال بار عمل می‌کند. انتقال بار از مولکول برانگیخته شده به باند هدایت TiO_2 می‌تواند رادیکال کاتیون تولید کند [۳۸]. در عین حال، احیاء شدن حساس‌گرهای اکسیدشده با یک دهنده الکترون مناسب ضروری است. ناکامی در احیاء شدن حساس‌گر سرانجام موجب تخریب آن خواهد شد [۳۷].

۳- روش‌های پوشش‌دهی

روش پوشش‌دهی TiO_2 روی واکنش فتوکاتالیزی تاثیر خواهد گذاشت. برخی تحقیقات نشان داده است که فیلم TiO_2 دارای فعالیت فتوکاتالیزی بالاتری به نسبت اغلب پودرهای TiO_2 تجاری می‌باشد [۳۹]. عموماً دو نوع روش پوشش‌دهی وجود دارد. اولی، غوطه‌وری مستقیم در پودر کاتالیست [۴۰] که در بعضی مواقع wash-coating نیز نامیده می‌شود [۴۱، ۴۲].

روش دیگر، تشكیل فیلم TiO_2 و رسوب‌گذاری با استفاده از بخار شیمیایی (CVD) [۴۳]، CVD فلزی-آلی (MOCVD) [۴۴، ۴۵] مطالعه کامات^۸ و میسل^۹ [۲۳] نشان داد که افزودن یون‌های فلزات انتقالی،

می‌باشد [۱۹]. در تحقیقی که توسط آلن^۱ و همکارانش انجام شده از TiO_2 در فرمولاسیون پوشش برای اکسیداسیون NO_x VOC باکتری‌ها استفاده شده است که نتایج موفقیت‌آمیزی به دست آمده است. همچنین در این تحقیق اثر نانو ذرات TiO_2 در فرمولاسیون پوشش برای از بین بردن باکتری‌ها بررسی شده است [۱۹]. همچنین در یک تحقیق وجود ذرات تیتانیم در فرمولاسیون پوشش سبب کاهش ۹۵ درصدی NO در شرایط واقعی محیط بیرون شده است [۲۰]. برای افزایش فعالیت فتوکاتالیست پوشش‌های مورد استفاده داخلی، که شدت پرتو UV بسیار کمتر از بیرون است، TiO_2 می‌تواند با اتم‌های خارجی مزدوج شود. این عمل می‌تواند سبب کاهش فاصله بین نوارهای انرژی برای فعال‌سازی کاتالیست‌ها، شود [۲۱]. علاوه بر این بسیاری از محققین برای بهبود فعالیت کاتالیزی فتوکاتالیست‌ها تحقیقاتی انجام داده‌اند از جمله سنتز کامپوزیت‌های نانوی فلزات نیمه‌رسانا و بسطدادن دامنه فعالیت نوری کاتالیست‌ها به محدوده ناحیه مرئی توسط آگشته کردن یون‌های فلزات با TiO_2 [۲۲].

۱-۲- فتوکاتالیست‌هایی که در ناحیه نور مرئی فعال

می‌شوند

برای تصفیه هوای داخل ساختمان به علت فقدان پرتو فرابنفش کافی لازم است فتوکاتالیست بتواند توسط نور مرئی نیز فعال شود. معمولاً، سه روش برای تهیه فتوکاتالیست‌های که در ناحیه مرئی می‌شوند وجود دارد: آمیختن TiO_2 با یون‌های فلزات انتقالی، مزدوج کردن نیتروژن، گوگرد یا TiO_2 و استفاده از پوشش‌های حساس‌شده [۲۳]. در روش اول، کربن با TiO_2 با یک نیمه‌رسانا با فاصله کم بین باندهای انرژی یا مزدوج کردن اتصال با یون‌های فلزات انتقالی مانند V, Cr, Mn, Fe, Co, Ni, Cu به ناحیه مرئی بسط می‌دهند منجر به فعال‌سازی فتوکاتالیست در ناحیه نور مرئی می‌شود [۲۴]. اتصال WO_3 با غلظت‌های کم (۴ w.t%) با TiO_2 نوع آناترا با انداره تخلخل مزو منجر به کارایی فتوکاتالیزی بالا هم در ناحیه UV و هم نور مرئی در تجزیه تولوئن می‌شود [۲۵]. البته باید توجه داشت، اگر چه مزدوج کردن با یون فلزی ناحیه فعال‌سازی را به ناحیه نور مرئی بسط می‌دهد اما عملکرد فتوکاتالیزی در ناحیه UV را به طور مشخص کاهش می‌دهد [۲۳]. بریزووا^{۱۰} و همکارانش [۲۶] متوجه شدند که وجود فلزاتی همچون Pt^0 , Mn^{2+} , Al^{3+} , Fe^{3+} , Cr^{3+} , Co^{3+} , Ce^{3+} , Cd^{2+} , Zn^{2+} , Li^+ است موجب تغییر در فعال‌سازی نوری TiO_2 شود. آنها از روش سل-ژل برای ایجاد لایه‌های (M^{n+}/TiO_2)^{۱۱} برای تجزیه فنل استفاده کردند. این کار نشان داد که وجود یون‌های (Fe^{3+} , Cr^{3+} , Co^{3+} , Ce^{3+} , Cd^{2+} , Mn^{2+} , Al^{3+} , Fe^{3+}) در فتوکاتالیست Co^{3+} در TiO_2 می‌باشد. ۵% $M^{n+}:Ti^{4+}$ (mol) یک تاثیر مخرب بر فعال‌سازی نوری آن دارد. مطالعه کامات^۸ و میسل^۹ [۲۳] نشان داد که افزودن یون‌های فلزات انتقالی،

⁴ Meisel

⁵ Gaseous formaldehyde

⁶ Khan

⁷ Rutile

¹ Allen

² Brezova

³ Kamat

واکنش‌گاههای PCO مصرف انرژی کم و نیاز به تعمیر و نگهداری پائینی دارند. لذا استفاده از فناوری PCO می‌تواند یک فرآیند مؤثر در حذف و تخریب آلوده‌کننده‌های هوای داخل باشد. ارزیابی PCO در عمل برای تخمین کارآیی آنها در حذف VOC‌ها ضروری است.

نرخ دریافت هوای تمیز (CADR)، برای ارزیابی ظرفیت هوای پاک یک واکنشگاه PCO استفاده می‌شود. CADR حجم هوای تصفیه شده که توسط یک تصفیه‌کننده هوا دریافت می‌شود را نشان می‌دهد. CADR همچنین نشان می‌دهد که یک تصفیه‌کننده هوا به چه میزان در کاهش آلودگی‌ها (آلاینده‌ها) خوب عمل کرده است. هر چه میزان عدد CADR بالاتر باشد، تصفیه‌کننده هوا سریع‌تر هوا را تصفیه می‌کند. برای یک تصفیه‌کننده PCO CADR به صورت رابطه ۵ می‌تواند نوشته شود [۴۱].

$$\text{CADR} = G \times \epsilon \quad (5)$$

که G نرخ جریان هوای یک تصفیه‌کننده PCO و ϵ نسبت تبدیل VOC است. واضح است که بر پایه معادله بالا اعداد CADR مختلف از VOC‌های مختلف می‌تواند حاصل شود. البته اعداد CADR نمی‌تواند اثرات منفی محصولات جانبی تولید شده از واکنش‌های PCO را نشان دهد. اگر چه تاکنون نیز هیچ روشی به صورت عدد و رقم برای ارزیابی اثرات منفی این محصولات بر سلامتی گزارش نشده است. به عنوان یک تناسب بین مواد مضر محصولات ساختمانی و محصولات جانبی PCO یک شاخص سلامتی برای ارزیابی کارآیی PCO در تصفیه هوا تعریف شده است $HRI = \frac{C}{REL}$ که REL میزان مجاز توصیه شده ترکیب و C غلظت ترکیب است. لازم است که HRI کلی تمامی ترکیبات از ۱ تجاوز نکند اما به هر حال تصفیه هوای PCO نباید محصولات جانبی سلطان‌زا نظیر فرمائید و بنزن تولید کند.

۶- محصولات جانبی تولید شده از اکسیداسیون فوتوكاتالیست

تجزیه مواد آلی موجود در هوا به وسیله PCO‌ها مرحله به مرحله و پلهای است و معمولاً در یک مرحله تمام نمی‌شود. بنابراین وجود محصولات جانبی در هر مرحله امری اجتناب ناپذیر است. تحقیقات اخیر نشان داده است واکنش PCO‌ها الزاماً منجر به تولید آب و دی‌اکسید کربن به تنهایی نمی‌شود چراکه ممکن است واکنش‌های فوتوكاتالیست در مراحل میانی متوقف شده و ترکیباتی نظیر آلدھیدها، کتن‌ها یا اسیدهای آلی تولید شود. برخی از این محصولات جانبی سمی بوده و ممکن است نسبت به مواد اولیه خود، برای سلامتی انسان ضرر بیشتری داشته باشند. بنابراین ممکن است استفاده از PCO سبب ایجاد منبع جدید آلودگی شود. مواد آلی فرار که در هوای داخل شناسایی شده‌اند به طور عمده به شش گروه اصلی شامل آلدھیدها، کتن‌ها، الکل‌ها (یا آلكوکسی الکل‌ها) و آروماتیک‌ها تعلق دارند. محصولات حاصل از واکنش PCO‌ها با این مواد در ادامه آورده شده است:

سل-ژل [۴۶، ۴۷] یا پوشش به روش پاشش [۴۸] می‌باشد.

۴- غیرفعال‌سازی

طول عمر فوتوكاتالیزورها بالقوه در اقتصادی‌بودن مراحل مهم می‌باشد، چون این طول عمر حداقل زمان بین احیاء کاتالیست یا جانشین‌سازی را مشخص می‌کند [۴۹]. مشاهده شده که واکنش فوتوكاتالیست‌های گاز-جامد باگذشت زمان کاهش می‌یابد [۲۵] این امر به دلیل کاهش مکان‌های فعال کاتالیست روی سطح واکنشی است [۴۹] دلایل زیادی برای کاهش مکان‌های فعال کاتالیست وجود دارد. اولین دلیل، تولید پسماندهای واکنش محصولات جانبی یا مواد واسط است که ممکن است روی کاتالیست جذب شوند و مکان‌های فعال را غیرفعال کنند که در نتیجه فعالیت فوتوكاتالیزی کم می‌شود [۲۵]. این نوع غیرفعال‌شدن بسیار رایج می‌باشد و برای تولوئن [۵۱]، اتانول [۵۲]، تری‌کلوروایلن، دی‌متیل‌سولفید و تری‌کلروبروپن [۲۵] بسیار گزارش شده است. جزئیات بیشتر درباره غیرفعال‌شدن حاصل از محصولات جانبی یا مواد واسط در بند ۵ آورده شده است. دومین دلیل، پلیمریزاسیون در اثر نور روی سطح به ویژه در غیاب آب است. تبدیل بنزن یک مثال از این حالت است [۲۵]. سومین دلیل، موادی با اتم‌های نامتجانس مانند S N، که ممکن است در معرض فوتوكاتالیزاسیون کامل یا زیادتری قرار گیرند و منجر به تشکیل شکل‌های غیرآلی نیتروژن و گوگرد شوند که روی سطح تجمع پیدا می‌کنند [۴۹]. در نهایت، رسوب ممکن است موجب تغییر سطح کاتالیست و غیرفعال‌شدن روزنده‌ها و قسمت‌های متخالخل سطح شود [۵۳]. لذا یکی از نکات قابل توجه در استفاده از این مواد توجه به طول عمر و دوام آنها در اثر گذشت زمان است. دیامانتی^۱ و همکارانش رفتار فوتوكاتالیست TiO_2 را در ملات‌های تقویت‌شده با الیاف در طول دو سال قرارگیری در معرض عوامل جوی طبیعی بررسی کرده و کاهش ۲۰ تا ۶۵٪ در فعالیت فوتوكاتالیست را بنا بر زاویه و جهت قرارگیری نمونه‌ها در برابر خورشید گزارش نمودند که نشان از غیرفعال‌شدن فوتوكاتالیست است. این گروه سپس با استفاده از پرتودهی فرابنفش و شستشوی نمونه‌ها توانستند تا ۷۰٪ از فعالیت فوتوكاتالیست نمونه‌ها را بازیابی کنند [۵۴].

۵- ارزیابی و کارآیی اکسیداسیون فوتوكاتالیستی

سیستم‌های سرمایش، گرمایش و تهویه مطبوع (HVAC) از مصرف کنندگان عمده انرژی در ساختمان هستند. یکی از راه‌های کاهش تقاضای انرژی این سیستم‌ها استفاده از نرخ کمتر تعویض هواست، البته این امر می‌تواند سبب نامناسب شدن کیفیت هوا برای ساکنین ساختمان شود. خروج آلودگی‌های هوای داخلی می‌تواند به طور مؤثری کیفیت هوای دریافتی را بهبود داده و میزان تعویض هوای مورد نیاز برای بدست آوردن کیفیت هوای مطبوع را کاهش دهد [۵۵]. واکنش‌گاههای فوتوكاتالیزوری می‌توانند در روی سیستم‌های HVAC جدید یا موجود بسته به طراحی مدولارشان، درجه حرارت اتاق و میزان افت فشاری که ایجاد می‌کنند قرار گیرند.

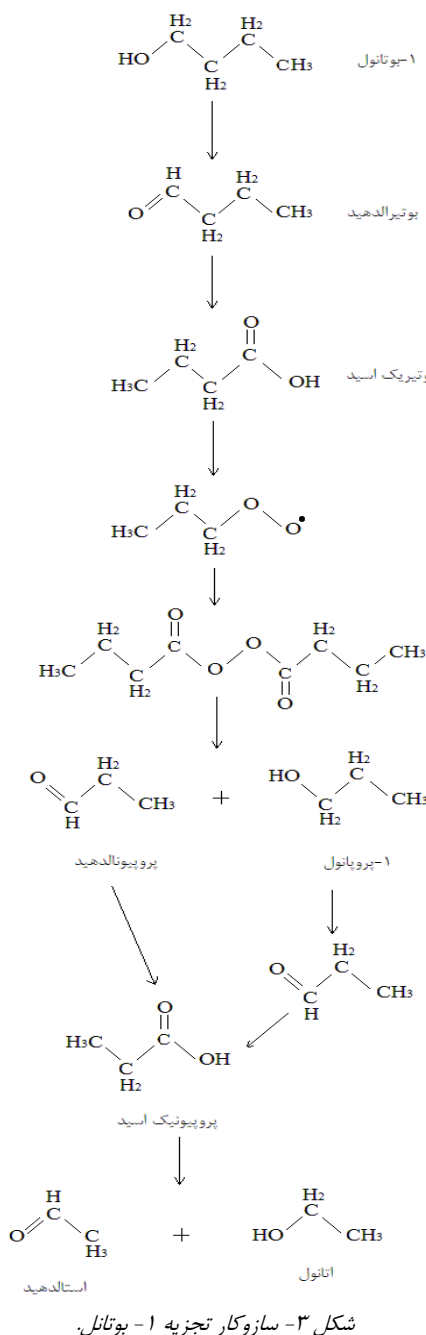
^۱ Diamanti

مقالات

مروری بر پژوهش‌های فتوکاتالیست تصفیه‌کننده هوا

اکسیداسیون فتوکاتالیست در فاز گازی بوتیرآلدهید را مطالعه کردند و مسیر واکنشی آن را با اکسیژن فعال به عنوان یک اکسیدکننده اصلی بدست آوردند:

آلدهیدها ← اسیدها ← آلدهیدها با زنجیر کربن کوتاه‌تر.



استن یک جز اصلی از بازدم تنفسی انسان است و یک محصول جانبی حاصل از اکسیداسیون فتوکاتالیست به شمار می‌آید. مسیر واکنش استن به صورت زیر پیشنهاد شده است

استن ← استالدهید + اسید فرمیک یا دی اکسید کربن ← فرمالدهید + متانول ← اسید فرمیک

۶-۱- الکل‌ها و آلكوكسی الکل‌ها

الکل‌ها و آلكوكسی الکل‌ها موجود در هوا و محصولات جانبی تولید شده از آنها در اثر واکنش فتوکاتالیست در زیر آورده شده است:

متانول- متانول یکی از ترکیبات موجود در هوا است. یانگ^۱ و همکارانش [۵۶] متوجه شدند که فرمالدهید، متیال (فرمالدهید دی متیل استال) و متیل فرمات محصولات جانبی عمدۀ در واکنش فتوکاتالیست متانول در فاز آبی هستند. اما فرمالدهید تنها محصول جانبی عمدۀ در واکنش متانول در فاز گازی است [۵۷].

اتانول- اتانول در اثر اکسیدشدن نوری به استالدئید، فرمالدهید و اسیدهای مربوطه اکسید می‌شود. سایر^۲ و اولیس^۳ [۴۹] بیان می‌کنند که اتانول در اثر واکنش تولید استالدئید کرده و سپس تشکیل CO_2 با محصول جانبی فرمالدهید می‌دهد. با استفاده از روش‌های TPD و TPO وجود استالدئید، اسید استیک، فرمالدهید و اسید فرمیک به عنوان محصولات جانبی اکسیداسیون نوری اتانول در اثر واکنش با TiO_2 مشخص شده است.

۱-بوتانول- n-بوتانول یا بوتان نرمال به عنوان حلال عمدۀ در دکوراسیون داخلی استفاده می‌شود. شش محصول جانبی عمدۀ بوتانال (یا بوتیرالدئید) بوتانوئیک اسید، ۱-پروپانل، پروپانال (پروپیونالدئید)، اتانول و استالدئید در تخریب فتوکاتالیست ۱-بوتانول مشخص شده است. در شکل ۳ سازوکار اکسیداسیون فتوکاتالیست ۱-بوتانول به عنوان نمونه ارائه شده است.

با شناخت محصولات جانبی آلكوكسی الکل‌ها بیان شده در فوق می‌توان مسیر واکنش آلكوكسی الکل‌ها را بدین شرح بیان کرد:

الکل‌ها ← آلدهیدها ← اسیدها ← آلدهیدها با زنجیر کربنی کوتاه‌تر ← الکل‌ها

سپس متانول و فرمالدهید و نهایتاً به دی اکسید کربن و آب تجزیه می‌شوند. اما برای الکل‌ها غیرنرمال مانند ۲-پروپانل مسیر حرکتی متفاوت است. لارسون^۴ و همکارانش [۵۸] دریافتند که محصول جانبی تخریب فتوکاتالیست ۲-پروپانل، استن است و الکل‌ها غیرنرمال در اثر واکنش ابتدا کتن تولید می‌کنند. جزئیات مسیر واکنش فتوکاتالیست استن به عنوان یک کتن در بخش ۳-۶ به تفضیل بیان شده است.

۶-۲- آلدهیدها

به عنوان ساده‌ترین آلدهید، فرمالدهید، محصول جانبی اسید فرمیک به علاوه منوکسید کربن تولید می‌کند. لیو^۵ و همکارانش [۵۹] جزئیات اکسیداسیون فتوکاتالیست فرمالدهید روی TiO_2 را تشریح کردند. آلدهیدهای دیگر به اسیدهای مربوطه خود، آلدهیدها با زنجیر کربن کوتاه‌تر، دی اکسید کربن و آب، اکسید می‌شوند. یه^۶ و همکارانش [۶۰]

¹ Yang

² Sauer

³ Ollis

⁴ Larson

⁵ Liu

⁶ Ye

شده و دلیل اصلی دوباره واکنش دادن کاتالیست است. ایروکاوا^۴ و همکارانش [۲۸] با استفاده از طیف‌سنجی زیر قرمز انتقال فوریه انعکاسی^۵ به وجود اسیدهای جانبی دیگری نیز نظیر اسید آگزالیک، اسید ۲۰ ppm اسید استیک، اسید فرمیک، پیرویک^۶ اسید به مقدار حدودی روی سطح واکنش پی برند. دنzel^۷ و همکارانش [۵۰] مسیر اکسیداسیون فوتوكاتالیست تولوئن را ارائه کردند. جدایی هیدروژن از گروه متیل سبب تولید رادیکال بنزیل شده سپس این رادیکال بنزیل می‌تواند با مولکول اکسیژن واکنش داده و رادیکال بنزیل پروکسید تولید کند که در اثر واکنش با خود، بنزآلدهید به همراه یک رادیکال بنزوکسی یا بنزآلدهید و بنزیل الكل به مقدار مساوی تشکیل می‌دهد. سپس بنزآلدهید به راحتی در حضور O₂ و تابش UV به بنزویک اسید اکسید می‌شود. در جدول ۱ محصولات جانبی اکسیداسیون فوتوكاتالیست تولوئن که توسط محققین به دست آمده، جمع‌آوری شده است [۶۴-۷۲]. بنزن-محصول جانبی عده بزرگ، فنل است که همراه با هیدروکینون و ۱/۴-بنزوکینون می‌باشد. ژانگ^۸ و همکارانش [۶۴] نتایج مشابهی بدست بدست آوردن و بعلاوه سه محصول جانبی دیگر شامل ۲-هگزانل، ۲-متیل کروتون آلدهید و ۴-هیدروکسیل-۳-متیل-۲-بوتانون را مشخص کردند. مسیرهای بنزن به فل، هیدروکینون و ۱/۴-بنزوکینون توسط دنzel [۵۰] ارائه شده است. لازم به ذکر است در غلظت‌های بنزن بالا، محصولات جانبی دیگری نیز تولید می‌شود که توسط ژانگ به تفصیل بیان شده است. ذکر این نکته حائز اهمیت است که در اثر اکسیداسیون ناقص این ترکیبات و کامل نشدن واکنش‌ها، محصولات جانبی تولید می‌شوند که کیفیت و کمیت آن ممکن است برای سلامتی مضر باشد و این امر یکی از چالش‌های استفاده از این مواد می‌باشد.

⁴ Irokawa⁵ Diffuse reflectance Fourier-transform infrared spectroscopy (DRIFTS)⁶ Pyruvic acid⁷ D'hennezel⁸ Zhang

رایلارد^۹ و همکارانش [۶۱] نشان دادند که محصول جانبی اصلی، استالدئید است که به متیل فرمات تبدیل می‌شود. در توجیه این امر می‌توان گفت متانول و اسید فرمیک تولید شده ممکن است واکنش داده و تولید متیل فرمات کند. به علاوه وینسنت^{۱۰} و همکارانش [۶۲] وجود متیل متیل کتن را به عنوان یک محصول جانبی مشخص کردند. لذا مسیر واکنشی دیگری برای واکنش پیشنهاد دادند: استن، MEK، استالدھید.

۴-۶- آروماتیک‌ها

تولوئن و بنزن از رایج‌ترین آروماتیک‌ها داخلی هستند که از رنگ‌ها یا لوازم منزل نشات می‌گیرند. بنزن و تولوئن به سرعت اکسید شده و محصولات جانبی تولید می‌کنند که قویاً روی سطح واکنش، جذب می‌شوند اما این محصولات جانبی نسبت به آروماتیک‌های پایه از واکنش‌پذیری بسیار پائین‌تری برخوردارند. تولوئن-بنزآلدهید، بنزیل الكل، کرسول، بنزوئیک اسید، فنل و بنزن اولین محصولات جانبی تولوئن هستند. تولوئن به سرعت با اکسیژن واکنش می‌دهد اما محصولات جانبی آن به آرامی به دی اکسید کربن اکسید می‌شوند. اما در مقابل، بنزآلدهید و بنزیل الكل محصولات واکنشی کم سرعتی نیستند. بنزآلدهید جذب شده که تشکیل دی اکسید کربن می‌دهد ۱۰ برابر سریع‌تر از تولوئن و بنزیل ۲۰ تا ۳۰ بار سریع‌تر از تولوئن واکنش می‌دهد. بلونت^{۱۱} و همکارانش [۶۳] فرآیند دیگری را ارائه دادند که در آن در حین اکسیداسیون فوتوكاتالیست تولوئن، دو شکل مختلف بنزآلدهید تولید می‌شود. یک شکل بنزآلدهید به سرعت به محصولات جانبی با واکنش‌پذیری کمتر اکسید شده در حالی که شکل دیگر بنزآلدهید با واکنش‌پذیری کمتر روی سطح واکنش باقی می‌ماند. به علاوه بنزوئیک اسید آخرین محصول جانبی نیست که در اکسیداسیون فوتوكاتالیست تشکیل می‌شود. اگرچه بنزوئیک اسید قویاً روی سطح کاتالیست جذب

⁹ Raillard¹⁰ Vincent¹¹ Blount

جدول ۱- محصولات جانبی اکسیداسیون فوتوكاتالیست تولوئن شناسایی شده در مراجع مختلف.

مرجع	غلظت(ppm)	منبع	محصولات جانبی	سایر محصولات جانبی عده	روش تشخیص
[۶۴]	۲۰۰-۳۰	۳۶۵nm	بنزآلدهید و بنزویک اسید	بنزیل الكل	FTIR, GC/MS
[۶۵]	۱۳۰۰-۴۰۰	۴۰۰ وات لامپ Hg	بنزآلدهید، بنزن و بنزیل الكل	بنزویک اسید و فنل	FTIR, GC, HPLC
[۶۶]	۱۳۰۰	۴۰۰ وات لامپ Hg	بنزآلدهید، بنزن، بنزیل الكل، بنزویک اسید و فنل	-	FTIR
[۶۷]	۱۲۰۰	-	بنزآلدهید	-	FTIR
[۶۸]	۰.۷۵-۰.۰۳۰ mM	۳۶۰ nm	بنزآلدهید	-	FTIR
[۶۹]	۰/۳ mW cm ^{-۲}	۳۵۶ nm	بنزآلدهید	-	TPH

ادامه جدول ۱

مرجع	غلظت (ppm)	منبع UV	محصولات جانبی عمدۀ	سایر محصولات جانبی	روش تشخیص
[۷۰]	۱۰۰	۳۵۶ nm ۲/۵ mW cm ^{-۲}	بنزآلدهید	-	TPH, TPO
[۷۱]	۰-۸۰۰ mg m ^{-۳}	لامپ UVP	محصول جانبی عمدۀ شناسایی نشد	-	GC/FID
[۵۱]	۳۰۰۰-۶۰۰۰	>۳۰۰ nm	بنزن و بنزآلدهید	-	GC/FID, GC/MS
[۵۰]	۱۳/۱	۳۶۵ nm	بنزویک اسید، بنزآلدهید و بنزیل الکل	محصول جانبی در فاز گازی مشاهده نشد	GC/FID, GC/MS, HPLC
[۲۸]	۲۰	نور مرئی	بنزآلدهید، اگزالیک اسید، استیک اسید، فرمیک اسید و پیروویک اسید	محصول جانبی در فاز گازی مشاهده نشد پروپیونیک اسید و ایزووالریک اسید و ساکسینیک اسید	DRIFTS, GC, IC, GC-MS
[۷۲]	۰/۵	قوس کرونا	فرمیک اسید، بنزآلدهید و بنزیل الکل	برخی از محصولات نیترو	PDMS, SPME, GC/MS/FID

برخوردار است. نوع پوشش نیز بر کارایی فتوکاتالیست موثر است. فعالیت فتوکاتالیست فیلم TiO₂ نسبت به پودرهای مرسوم تجاری بالاتر گزارش شده است. یکی از مسائل اصلی در استفاده از فتوکاتالیست، محصولات جانبی تولید شده در مراحل مختلف واکنش این نوع مواد است. آلاینده‌های موجود در هوا که می‌توانند توسط فتوکاتالیست تجزیه شوند به طور عمدۀ به شش گروه اصلی شامل آلدهیدها، کتن‌ها، الکل‌ها (یا آلکوکسی الکل‌ها) و آروماتیک‌ها تعلق دارند. در صورتی که واکنش به طور کامل انجام شود محصول نهایی آب و دی‌اسید کربن خواهد بود و در صورتی که واکنش‌ها کامل نباشند محصولات جانبی تولید شده علاوه بر اینکه ممکن است سمی و خطرناک باشند می‌توانند از ادامه فعالیت فتوکاتالیست نیز جلوگیری نمایند. در برخی موارد کیفیت و کمیت این محصولات جانبی هنوز به طور دقیق شناخته نشده و تحقیقات برای شناخت بیشتر این محصولات ادامه دارد. مساله دیگر توجه به دوام فتوکاتالیست و احیای مجدد آن در اثر گذشت زمان است. این امر می‌تواند در توجیه اقتصادی استفاده از این مواد اثرگذار باشد. البته نیاز امروز به تصفیه هوا و وجود آلاینده‌های مختلف در محیط اطراف، فرسته‌هایی را در آینده برای پژوهش و مطالعه بیشتر در این زمینه طلب می‌کند همچنان که در سطح دنیا تحقیقات بر روی این مواد کماکان ادامه دارد.

۷- نتیجه‌گیری

استفاده از فتوکاتالیست یکی از روش‌های نوین و موثر در تصفیه هوا و کاهش آلاینده‌های محیط به خصوص در بخش ساختمان به شمار می‌آید. تحقیقات بسیاری در سراسر جهان بر حذف ترکیبات مختلف موجود در هوا و نیز بهبود کارایی این مواد انجام شده یا در دست انجام است. اساس فعالیت فتوکاتالیست در اثر واکنش‌های اکسیداسیون و احیاست که منجر به تولید رادیکال‌های فعال و شروع واکنش‌های زنجیره‌ای می‌شود. کاتالیزورهای معمول عموماً اکسید فلزات یا سولفیدها هستند اما مرسوم ترین فتوکاتالیزورها ZnO و TiO₂ می‌باشند. در صورت کاربرد این مواد در فضای داخل، لازم است از فتوکاتالیزورهایی استفاده شود که در ناحیه نور مرئی نیز فعال باشند. سه روش کلی برای فعال‌سازی در ناحیه مرئی وجود دارد که شامل مزدوج کردن TiO₂ با یون‌های فلزات انتقالی، مزدوج کردن با نیتروژن و استفاده از فتوکاتالیزورهایی حساس شده است. در روش نخست، علی‌رغم افزایش فعالیت کاتالیستی در ناحیه مرئی، عملکرد کاتالیست در ناحیه فرابینفشن کاهش می‌یابد. در تلاش محققان برای افزایش کارایی با این روش همچنان ادامه دارد. در روش دوم در اثر مزدوج شدن با نیتروژن یا کربن، نور مرئی می‌تواند سبب فعالیت فتوکاتالیست شود و عملکرد آن از حالت مزدوج نشده بهتر گزارش شده است. روش سوم استفاده از پوشش‌های حساس شده در نیمه‌رسانها است. در این روش احیای نهایی پوشش از اهمیت بالایی

۸- مراجع

- C. P. Ireland, C. Ducati, "Investigating the photo-oxidation of model indoor air pollutants using field asymmetric ion mobility spectrometry", Journal of Photochemistry and Photobiology A: Chemistry 312, 1-7, 2015.
- C. Aguiar, J. Angelo, Luis M. Madeira, A. Mendes, "Influence of photocatalytic paint components on the photoactivity of P25 towards NO abatement", Catalysis Today 151, 77-83, 2010.
- D. T. Tompkins, "Evaluation of photocatalytic air cleaning capability: a literature review and engineering analysis", ASHARE Research Project RP-1134, 2001.

4. B. Faure, G. Salazar-Alvarez, A. Ahniyaz, I. Villaluenga, G. Berriozabal, Y. Miguel, L. Bergström, "Dispersion and surface functionalization of oxide nanoparticles for transparent photocatalytic and UV-protecting coatings and sunscreens", *Sci. Technol. Adv. Mater.*, 14(2), 1-23, **2013**
5. K. Murugan, R. Subasri, T. N. Rao, A. S. Gandhi, B. S. Murty, "Synthesis, characterization and demonstration of self-cleaning TiO₂ coatings on glass and glazed ceramic tiles", *Prog. Org. Coat.* 76, 1756-1760, **2013**
6. J. Zhang, W. Liu, P. Wang, K. Qian, "Photocatalytic behavior of cellulose-based paper with TiO₂ loaded on carbon fibers", *J. Environ. Chem. Eng.* 1, 175-182, **2013**.
7. M. V. Diamanti, M. P. Pedeferri, Concrete, mortar and plaster using titanium dioxide nanoparticles: applications in pollution control, self-cleaning and photosterilisation, in: F. Pachego-Torgal, M. Diamanti, N. Nazari, C. GoranGranqvist (Eds.), *Nanotechnol. Eco-efficient Constr.*, Woodhead Publishing Ltd, Cambridge, UK, 299-326, **2014**.
8. Yoshihiko Ohama, Dionys Van Gemert, Application of Titanium Dioxide Photocatalysis to Construction Materials, Springer, Rilem state-of-the-art reports, 5, **2011**.
9. A. Fujishima, T. N. Rao, D. A. Tryk, Titanium dioxide photocatalysis *J. Photochem. Photobiol. C* 1 1-21, **2000**.
10. S. Devahastin, C. Fan Jr., K. Li, D.H. Chen, *J. Photochem. Photobiol. A* 156, 161-170, **2003**.
11. Y. Paz, Application of TiO₂ photocatalysis for air treatment: Patents" overview", *Appl. Catal., B* 99 448-460, **2010**.
12. B. Ohtani, Preparing articles on photocatalysis – beyond the illusions, misconceptions, and speculation. *Chem. Lett.* 37, 217-229, **2008**.
13. Y. V. Kolenko, K. A. Kovnir, A. I. Gavrilov, A.V. Garshev, P. E. Meskin, M. Churagulov, B. R. Bouchard, C. Colbeau- Justin, O.I. Lebedev, G. van Tendeloo, M. Yoshimura, Structural, textural, and electronic properties of a nanosized mesoporous ZnxTi1-xO2-x solid solution prepared by a supercritical drying route, *J. Phys. Chem., B* 109, 20303-20309, **2005**.
14. M. R. Hoffmann, S. T. Martin, W. Y. Choi, D. W. Bahnemann, "Environmental applications of semiconductor photocatalysis", *Chemical Reviews*, 95, 69-96, **1995**.
15. K. Liu, M. Cao, A. Fujishima, L. Jiang, "Bio-inspired titanium dioxide materials with special wettability and their applications", *Chem. Rev.* 114, 10044-10094, **2014**.
16. S. Ortelli, M. Blosi, C. Delpivo, D. Gardini, M. Dondi, I. Gualandi, "Multiple approach to test nano TiO₂ photo-activity", *J. Photochem. Photobiol. A Chem.* 292, 26-33, **2014**
17. M. Baudys, J. Kry'sa, M. Zlámal, A. Mills, "Weathering tests of photocatalytic facade paints containing ZnO and TiO₂", *Chem. Eng. J.* 261, 83-87, **2015**.
18. A. Fujishima, X. T. Zhang, Titanium dioxide photocatalysis: present situation and future approaches. *Comptes Rendus Chimie* 9, 750-760, **2006**.
19. N. S. Allen, M. Edge, J. Verran, J. Stratton, J. Maltby, C. Bygott, Photocatalytic titania based surfaces: Environmental benefits *Polymer Degradation and Stability* 93 1632-1646, **2008**.
20. O. Ângelo, L. Andrade, A. Mendes, "Highly active photocatalytic paint for NO_x abatement under real-outdoor conditions", *Appl. Catal. A: General* 484, 17-25, **2014**.
21. M. R. Hoffmann, S. T. Martin, W. Y. Choi, D. W. Bahnemann, "Environmental applications of semiconductor photocatalysis", *Chem. Rev.*, 95, 69-96, **1995**.
22. D. F. Ollis, Photocatalytic purification and remediation of contaminated air and water. *Comptes Rendus De L Academie Des Sciences Serie II Fascicule C-Chimie* 3, 405-411, **2000**.
23. P. V., Kamat, D. Meisel, Nanoparticles in advanced oxidation processes. *Current Opinion in Colloid & Interface Science* 7, 282-287, **2002**.
24. L. Zang, W. Macyk, C. Lange, W. F. Maier, C. Antonius, D. Meissner, H. Kisch, Visible-light detoxification and charge generation by transition metal chloride modified titania. *Chemistry – A European Journal* 6, 379-384, **2000**.
25. F. Bosc, D. Edwards, N. Keller, V. Keller, A. Ayral, Mesoporous TiO₂-based photocatalysts for UV and visible light gas-phase toluene degradation, *Thin Solid Films* 495, 272-279, **2006**.
26. V. Brezova, A. Blazkova, L. Karpinsky, J. Groskova, B. Havlinova, V. Jorik, M. Ceppan, Phenol decomposition using Mn/TiO₂ photocatalysts supported by the sol-gel technique on glass fibres. *J. Photochem. Photobiol. A – Chemistry* 109, 177-183, **1997**.
27. S. Piskunov, O. Lisovski, J. Begens, D. Bocharov, Y. F. Zhukovskii, M. Wessel, E. Spohr, C-, N-, S-, and Fe-Doped TiO₂ and SrTiO₃ Nanotubes for Visible-Light-Driven Photocatalytic Water Splitting: Prediction from First Principles, *J. Phys. Chem. C*, 119 (32), 18686-18696, **2015**.
28. Y. Irokawa, T. Morikawa, K. Aoki, S. Kosaka, T. Ohwaki, Y. Taga, "Photodegradation of toluene over TiO₂-xNx under visible light irradiation", *Phys. Chem. Chem. Phys.* 8, 1116-1121, **2006**.
29. R. Asahi, T. Morikawa, T. Ohwaki, K. Aoki, Y. Taga, Visible-light photocatalysis in nitrogen-doped titanium oxides. *Science* 293, 269-271, **2001**.
30. T. Ihara, M. Miyoshi, Y. Iriyama, O. Matsumoto, S. Sugihara, Visible-lightactive titanium oxide photocatalyst realized by an oxygen-deficient structure and by nitrogen doping. *Applied Catalysis B – Environmental* 42, 403-409, **2003**.
31. H. Irie, Y. Watanabe, K. Hashimoto, Nitrogen-concentration dependence on photocatalytic activity of TiO₂-xNx powders. *J. Phys. Chem. B* 107, 5483-5486, **2003**.
32. M. Miyauchi, A. Ikezawa, H. Tobimatsu, H. Irie, K. Hashimoto, Zeta potential and photocatalytic activity of nitrogen doped TiO₂ thin films. *Phys. Chem. Chem. Phys.* 6, 865-870, **2004**.
33. Z. B. Wu, F. Dong, W. R. Zhao, S. Guo, Visible light induced electron transfer process over nitrogen doped TiO₂ nanocrystals prepared by oxidation of titanium nitride. *J. Hazard. Mater.* 157, 57-63, **2008**.
34. X. C. Wang, J. C. Yu, Y. L. Chen, L. Wu, X. Z. Fu, ZrO₂-modified mesoporous mono crystalline TiO₂xNx as efficient visible light photo catalysts, *Environ. Sci. Technol.* 40, 2369-2374, **2006**.
35. S. U. M., Khan, M. Al-Shahry, W. B. Ingler, Efficient photochemical water splitting by a chemically modified n-TiO₂. *Science* 297, 2243-2245, **2002**.
36. L. Li, J. Gu, Y. Zhang, Visible-light photodegradation of Rhodamine B on carbon doped titanium oxide thin film prepared by atmospheric MOCVD. *Advanced Materials Research* 26-28, 633-636, **2007**.
37. K. Vinodgopal, X. Hua, R. L. Dahlgren, A. G. Lappin, L. K. Patterson, P. V. Kamat, Photochemistry of Ru (bpy) (2) (dcbpy) (2) on Al₂O₃ and TiO₂ surfaces – an insight into the mechanism of photosensitization. *J. Phys. Chem.*, 99, 10883-10889, **1995**.
38. C. Nasr, K. Vinodgopal, L. Fisher, S. Hotchandani, A. K. Chattopadhyay, P. V. Kamat, Environmental photochemistry on semiconductor surfaces. Visible light induced degradation of a textile diazo dye, naphthol blue black, on TiO₂ nanoparticles, *J. Phys. Chem.* 100, 8436-8442, **1996**.
39. A. M. Huang, L. X. Cao, J. Chen, F. J. Spiess, S. L. Suib, T. N. Obee, S. O. Hay, J. D. Freihaut, Photocatalytic degradation of triethylamine on titanium oxide thin films, *J. Catal.* 188, 40-47, **1999**.
40. H. Cheng, J. Ma, Z. Zhao, L. Qi, Hydrothermal preparation of uniform nanosize rutile and anatase particles. *Chem. Mater.* 7, 663-671, **1995**.
41. J. H. Mo, Y. P. Zhang, R. Yang, Novel insight into VOC

- removal performance of photocatalytic oxidation reactors. *Indoor Air* 15, 291-300, **2005**.
42. T. N. Obee, R. T. Brown, TiO₂ photocatalysis for indoor air applications – effects of humidity and trace contaminant levels on the oxidation rates of formaldehyde, toluene, and 1,3-butadiene. *Environ. Sci. Technol.* 29, 1223-1231, **1995**.
43. H. M. Yates, M. G. Nolan, D. W. Sheel, M. E. Pemble, The role of nitrogen doping on the development of visible light-induced photocatalytic activity in thin TiO₂ films grown on glass by chemical vapour deposition. *J. Photochem. Photobiol. A – Chemistry* 179, 213-223, **2006**.
44. X. W. Zhang, M. H. Zhou, L. C. Lei, Co-deposition of photocatalytic Fe doped TiO₂ coatings by MOCVD. *Catal. Commun.* 7, 427-431, **2006**.
45. Y. Guo, X. W. Zhang, G. R. Han, Investigation of structure and properties of N-doped TiO₂ thin films grown by APCVD. *Mater. Sci. Eng. B–Solid State Materials for Advanced Technology*, 135, 83-87, **2006**.
46. M. V. Roldán, Y. Castro, N. Pellegrí, A. Durán, Enhanced photocatalytic activity of mesoporous SiO₂ /TiO₂ sol-gel coatings doped with Ag nanoparticles, *J. Sol-Gel Sci. Technol.*, 76(1), 180-194, **2015**.
47. N. V. Golubko, M. I. Yanovskaya, I. P. Romm, A. N. Ozerin, Hydrolysis of titanium alkoxides: thermochemical, electron microscopy, SAXS studies. *J. Sol-Gel Sci. Technol.* 20, 245-262, **2001**.
48. J. Drelich, Y. Q. Lu, L. Y. Chen, J. D. Miller, S. Guruswamy, FTIR internal reflection spectroscopy studies of the effect of pH on adsorption of oleate oleic acid at the surface of a TiO₂ thin film deposited on a Ge single crystal. *Appli. Surf. Sci.* 125, 236-244, **1998**.
49. M. L. Sauer, D. F. Ollis, Catalyst deactivation in gas-solid photocatalysis. *J. Catal.* 163, 215-217, **1996**.
50. O. D'hennezel, P. Pichat, D. F. Ollis, Benzene and toluene gas-phase photocatalytic degradation over H₂O and HCl pretreated TiO₂: by-products and mechanisms *Journal of Photochemistry and Photobiology A – Chemistry* 118, 197-204, **1998**.
51. J. Blanco, P. Avila, A. Bahamonde, E. Alvarez, B. Sanchez, M. Romero, Photocatalytic destruction of toluene and xylene at gas phase on a titania based monolithic catalyst. *Catalysis Today* 29, 437-442, **1996**.
52. E. Piera, J. A. Ayllon, X. Domenech, J. Peral, TiO₂ deactivation during gasphase photocatalytic oxidation of ethanol. *Catal. Today* 76, 259-270, **2002**.
53. J. Zhao, X. D. Yang, Photocatalytic oxidation for indoor air purification: a literature review. *Building and Environment* 38, 645-654, **2003**.
54. M. V. Diamanti, R. Paolini, M. Rossini, A. B. Aslan, M. Zinzi, T. Poli, M. P. Pedeferrri, Long term self-cleaning and photocatalytic performance of anatase added mortars exposed to the urban environment, *Construction and Building Materials*, 96, 270-278, **2015**.
55. W. Sakr, C. J. Weschler, P. O. Fanger, The impact of sorption on perceived indoor air quality. *Indoor Air* 16, 98-110, **2006**.
56. L. C. Yang, T. Ishida, T. Yamakawa, S. Shinoda, Mechanistic study on dehydrogenation of methanol with [RuCl₂ (PR₃)₃]-type catalyst in homogeneous solutions, *J. Mol. Catal. A – Chemical* 108, 87-93, **1996**.
57. J. M. Stokke, D. W. Mazyck, C. Y. Wu, R. Sheahan, Photocatalytic oxidation of methanol using silica-titania composites in a packed-bed reactor. *Environmental Progress* 25, 312-318, **2006**.
58. S. A. Larson, J. A. Widgren, J. L. Falconer, Transient studies of 2-propanol photocatalytic oxidation on titania. *J. Catal.* 157, 611-625, **1995**.
59. H. M. Liu, Z. W. Lian, X. J. Ye, W. F. Shangguan, Kinetic analysis of photocatalytic oxidation of gas-phase formaldehyde over titanium dioxide. *Chemosphere* 60, 630-635, **2005**.
60. X. J. Ye, D. Chen, J. Gossage, K. Y. Li, Photocatalytic oxidation of aldehydes: byproduct identification and reaction pathway. *J. Photochem. Photobiol. A–Chemistry* 183, 35-40, **2006**.
61. C. Raillard, V. Hequet, P. Le Cioirec, J. Legrand, Photocatalytic oxidation of methyl ethyl ketone over sol-gel and commercial TiO₂ for the improvement of indoor air. *Water Sci. Technol.* 53, 107-115, **2006**.
62. G. Vincent, P. M. Marquaire, O. Zahraa, Abatement of volatile organic compounds using an annular photocatalytic reactor: study of gaseous acetone. *J. Photochem. Photobiol. A – Chemistry* 197, 177-189, **2008**.
63. M. C. Blount, J. L. Falconer, Characterization of adsorbed species on TiO₂ after photocatalytic oxidation of toluene. *J. Catal.* 200, 21-33, **2001**.
64. S. C. Zhang, Z. J. Zheng, J. H. Wang, J. M. Chen, Heterogeneous photocatalytic decomposition of benzene on lanthanum-doped TiO₂ film at ambient temperature. *Chemosphere* 65, 2282-2288, **2006**.
65. R. Mendez-Roman, N. Cardona-Martinez, Relationship between the formation of surface species and catalyst deactivation during the gas-phase photocatalytic oxidation of toluene. *Catal. Today* 40, 353-365, **1998**.
66. V. Augugliaro, S. Coluccia, V. Loddo, L. Marchese, G. Martra, L., Palmisano, M., Schiavello, Photocatalytic oxidation of gaseous toluene on anatase TiO₂ catalyst: mechanistic aspects and FT-IR investigation. *Appli. Catal. B – Environmental* 20, 15-27, **1999**.
67. G. Martra, S. Coluccia, L. Marchese, V. Augugliaro, V. Loddo, L. Palmisano, M. Schiavello, The role of H₂O in the photocatalytic oxidation of toluene in vapour phase on anatase TiO₂ catalyst – a FTIR study. *Catalysis Today* 53, 695-702, **1999**.
68. A. J. Maira, J. M. Coronado, V. Augugliaro, K. L. Yeung, J. C. Conesa, J. Soria, Fourier transform infrared study of the performance of nanostructured TiO₂ particles for the photocatalytic oxidation of gaseous toluene. *J. Catal.* 202, 413-420, **2001**.
69. G. Marci, M. Addamo, V. Augugliaro, S. Coluccia, E. Garcia-Lopez, V. Loddo, G. Martra, L. Palmisano, M. Schiavello, Photocatalytic oxidation of toluene on irradiated TiO₂: comparison of degradation performance in humidified air, in water and in water containing a zwitterionic surfactant, *J. Photochem. Photobiol. A–Chemistry* 160, 105-114, **2003**.
70. M. C. Blount, J. L. Falconer, Steady-state surface species during toluene photocatalysis. *Appli. Catal. B – Environmental* 39, 39-50, **2002**.
71. Y. Luo, D. F. Ollis, Heterogeneous photocatalytic oxidation of trichloroethylene and toluene mixtures in air: kinetic promotion and inhibition, time-dependent catalyst activity, *J. of Catal.* 163, 1-11, **1996**.
72. J. Van Durme, J. Dewulf, W. Sysmans, C. Leys, H. Van Langenhove, Abatement and degradation pathways of toluene in indoor air by positive corona discharge. *Chemosphere* 68, 1821-1829, **2007**.